

Cap7

7.3

a)

Usando Biot-Savart para fio teremos

$$H = \frac{1}{4\pi} \int_{corpo} \frac{Id\vec{l} \times \vec{r}}{r^2}$$

logo dadas as condições ficamos com

$$H = \frac{I}{2\pi\rho} a_\phi - \int_{-a}^a \frac{Id\vec{z} a_z \times [\rho a_\rho - z a_z]}{4\pi[\rho^2 + z^2]^{\frac{3}{2}}}$$

In [660...

```
import sympy as sp
from math import *
import numpy as np
import sympy.vector as spv

R = spv.CoordSys3D('R') #sentando coord cartesian, a unitario de referencia
# c = spv.CoordSys3D('c', transformation='cylindrical', variable_names=('rho','phi','z')) #setando coord cilindricas, c unitario d

p,I,z,a,theta = sp.symbols("rho I z a theta")
# a = CoordSys3D('a', transformation= lambda p,theta,z: (p*sp.cos(theta),p*sp.sin(theta),z)
# ##vetores unitários
ap = sp.Matrix([1,0,0])
aphi = sp.Matrix([0,1,0])
az = sp.Matrix([0,0,1])

f = ((I*az).cross(p*ap-z*az))/(4*sp.pi*(p**2+z**2)**(3/2))

f
```

Out[660...

$$\begin{bmatrix} 0 \\ \frac{I\rho}{4\pi(\rho^2+z^2)^{1.5}} \\ 0 \end{bmatrix}$$

In [661... `H = (I/(2*sp.pi*p))*aphi - sp.integrate(f,(z,-a,a))`
`H[1].evalf(4)`

Out[661...
$$-\frac{0.1592Ia}{\rho^{2.0}\left(\frac{a^2}{\rho^2} + 1.0\right)^{0.5}} + \frac{0.1592I}{\rho}$$

b)

cap8

8.5

Sabendo que

$$F = \int_{corpo} I dL \times B$$

$$F = \int_{corpo} I dL \times \frac{\mu_0 i}{2\pi r} \hat{a}$$

Criaremos uma função que calcula a força em todos os lados

In [662... `ax = sp.Matrix([1,0,0])`
`ay = sp.Matrix([0,1,0])`
`az = sp.Matrix([0,0,1])`
`r = sp.symbols('r')`
`mi0 = sp.pi*4e-7`
`i = 15`
`I = 6e-6`

`# a1 e a2 : vetores unitarios`
`# r : distancia até o fio`

```
F = lambda a1,a2,r,eixo,inicio,final: sp.integrate((I*a1).cross(((i*mi0)/(2*sp.pi*r))*a2),(eixo,inicio,final))
```

a)

```
In [663... Fbc = F(az,ay,3,z,1,4)
Fbc
```

```
Out[663... 
$$\begin{bmatrix} -1.8 \cdot 10^{-11} \\ 0 \\ 0 \end{bmatrix}$$

```

b)

```
In [664... Fab = F(ax,ay,x,x,1,3)
Fab.evalf(3)
```

```
Out[664... 
$$\begin{bmatrix} 0 \\ 0 \\ 1.98 \cdot 10^{-11} \end{bmatrix}$$

```

c)

```
In [665... Fda = F(-az,ay,1,z,1,4)
Fda
```

```
Out[665... 
$$\begin{bmatrix} 5.4 \cdot 10^{-11} \\ 0 \\ 0 \end{bmatrix}$$

```

```
In [666... F_total = Fda + Fbc
F_total
```

```
Out[666... 
$$\begin{bmatrix} 3.6 \cdot 10^{-11} \\ 0 \\ 0 \end{bmatrix}$$

```

Uma vez que todas as forças dadas em (N).

cap9

9.15

Sabendo que $B = \mu H$ podemos denotar que

$$B = \mu 2 \cos(10^{10}t - \beta x) a_z$$

Aplicando Maxwell temos

$$\nabla \times H = -\frac{\partial D}{\partial t}$$

Primeiro faremos $\nabla \times H = -\frac{\partial H}{\partial x} a_y$

In [667...

```
b,t = sp.symbols('beta t')

mi = 3e-5
e = 1.2e-10
sig = 0

H = 2*sp.cos(10e10*t-b*x)

dHdx = -H.diff(x)
dHdx
# spv.Del().cross(H)
```

Out[667...

$2\beta \sin(\beta x - 100000000000.0t)$

Usando D ficaremos com

$$D = \int -\frac{\partial H}{\partial x} a_y dt$$

In [668...

```
D = sp.integrate(dHdx,t)
D*R.j
```

Out[668...

$(2.0 \cdot 10^{-11} \beta \cos(\beta x - 100000000000.0t)) \hat{\mathbf{j}}_{\mathbf{R}}$

posto isso vamos encontrar o campo elétrico, uma vez que

$$E = \frac{D}{\epsilon}$$

```
In [669... E = D/e
E*R.j
```

```
Out[669... (0.1666666666666667β cos (βx - 100000000000.0t))ĵR
```

Usando Maxwell novamente

$$\nabla \times E = -\frac{\partial B}{\partial t}$$

$$\mathbf{e} \nabla \times E = \frac{\partial E_y}{\partial x} a_z$$

```
In [670... dEdx = E.diff(x)
dEdx*R.k
```

```
Out[670... (-0.1666666666666667β² sin (βx - 100000000000.0t))ĥR
```

Usando B ficaremos com

$$B = \int -\frac{\partial E_y}{\partial x} a_z dt$$

```
In [671... B = sp.integrate(dEdx,t)
B*R.k
```

```
Out[671... (-1.6666666666666667 · 10-12β² cos (βx - 100000000000.0t))ĥR
```

Já determinamos que

$$B = \mu 2 \cos(10^{10}t - \beta x) a_z$$

logo por comparação a equação a cima podemos denotar que:

$$2\mu = 1.67 \cdot 10^{-12} \beta^2$$

```
In [672... f = 1.67e-12*b**2 - 2*mi  
b = sp.solve(f,b)  
b
```

```
Out[672... [-5994.00898502620, 5994.00898502620]
```

Logo ficamos

```
In [673... D
```

```
Out[673...  $2.0 \cdot 10^{-11} \beta \cos(\beta x - 100000000000.0t)$ 
```

```
In [674... E
```

```
Out[674...  $0.166666666666667 \beta \cos(\beta x - 100000000000.0t)$ 
```

```
In [675... B
```

```
Out[675...  $-1.666666666666667 \cdot 10^{-12} \beta^2 \cos(\beta x - 100000000000.0t)$ 
```

```
In [676... b
```

```
Out[676... [-5994.00898502620, 5994.00898502620]
```

cap4 - José Cardoso

Q1

a)

Como D é constante, uma vez que r é consntate e está paralelo a $d\vec{S}$ podemos escrever que

$$\oint D \cdot dS = D \cdot S_{lateral} = D \cdot 2\pi r l$$

temos também $D \cdot 2\pi r l = \rho_l l$

logo fivamos com

$$D = \frac{\rho_l}{2\pi r}(C/m^2)$$

b)

sabendo que $D = \epsilon E$ temos que

$$E = \frac{\rho_l}{2\pi\epsilon_r\epsilon_0 r}(V/m)$$

c)

Para o potencial teremos a integração abaixo

$$V = - \int_A^B E \cdot dl$$

$$V = \int_b^a \frac{\rho_l}{2\pi\epsilon_r\epsilon_0 r} \cdot dl$$

Resultante em

$$V = \frac{\rho_l}{2\pi\epsilon_r\epsilon_0} \ln\left(\frac{b}{a}\right)$$

d)

Já a capacitância do cabo coaxial $C = Q/V$ é dada por

$$C = \frac{2\pi\epsilon_r\epsilon_0 l}{\ln\left(\frac{b}{a}\right)}(F)$$

isolando C/l teremos a capacitância por unidade de comprimento

$$\frac{C}{l} = \frac{2\pi\epsilon_r\epsilon_0}{\ln\left(\frac{b}{a}\right)}(F/m)$$

4 - Digitadas

Configurando o quadrado como $A = (1, 0, 0)$, $B = (3, 0, 0)$, $C = (1, 2, 0)$, $D = (3, 2, 0)$. Vamos determinar que no fio

$$F = \int_{\text{corpo}} I dL \times B$$

e o campo $B = \mu_0 H$ e $H = \frac{15}{2\pi x} az$

```
In [677... H = 15/(2*sp.pi*x)*R.k
B = mi0*H
B
```

```
Out[677... (3.0 * 10-6 / x) * k_R
```

```
In [678... I = 2e-3
F = lambda a,uni,dL,inicio,final :sp.integrate(I*B.subs(x,a).cross(uni),(dL,inicio,final))

Fac = F(1,-R.j,y,0,2)
Fac
```

```
Out[678... (1.2 * 10-8) * i_R
```

```
In [679... Fbd = F(3,R.j,y,0,2)
Fbd
```

```
Out[679... (-4.0 * 10-9) * i_R
```

```
In [680... Fab = F(x,R.i,x,1,3)
Fab.evalf(4)
```

```
Out[680... (6.592 * 10-9) * j_R
```

```
In [681... Fdc = F(x,-R.i,x,1,3)
Fdc.evalf(4)
```

```
Out[681... (-6.592 * 10-9) * j_R
```

```
In [682... F_t = Fab+Fbd+Fac+Fdc
F_t.evalf(4)
```


Out[682... $(8.0 \cdot 10^{-9}) \hat{\mathbf{i}}_{\mathbf{R}}$

cap3 - José Cardoso

Q11

Sabendo que

$$\phi = B \cdot A$$

e que a f.e.m é

$$\epsilon = -\frac{\phi}{T} = -\frac{BA}{T}$$

Posto isso podemos lembrar que $T = f^{-1}$

logo ficamos com

$$\epsilon = -B \cdot A \cdot f$$

```
In [683... f = 1500/60  
B = 50e-3  
A = 5e-2*10e-2  
  
e = -B*A*f  
e
```

Out[683... -0.0062500000000000001

$$\epsilon = 6.25mV$$

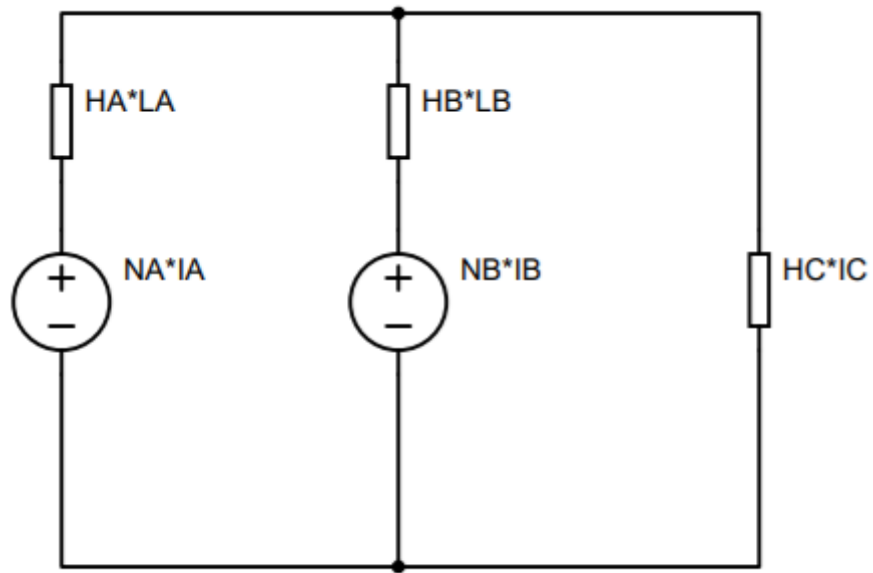
cap4 - José Cardoso

Q12

Como o fluxo magnetico em B é zero, então $\phi_A = \phi_b$ o que implica que $H_A = H_C$. Posto isso vamos para o circuito equivalente abaixo

```
In [684... from IPython.display import Image
Image(filename='circuito.png')
```

Out[684...



Fazendo as malhas do circuito encontramos as seguintes equações

$$N_a I_a - H_a l_a + H_b l_b - N_b I_b = 0$$

$$N_b I_b - H_b l_b - H_c l_c = 0$$

$$N_a I_a - H_a l_a - H_c l_c = 0$$

```
In [685... na = 1e3
nb = 200
ia = 0.5
la = 60e-2
lb = 16e-2
lc = 60e-2
ib,Hb,Hc,Ha= sp.symbols('I_b H_b H_c H_a')

#Hc = Ha
eq1 = na*ia-Ha*la+Hb*lb-nb*ib
```

```
eq2 = nb*ib-Hb*lb-Ha*lc
```

```
eq3 = na*ia-Ha*la-Ha*lc
```

```
In [686... eq1
```

```
Out[686...  $-0.6H_a + 0.16H_b - 200I_b + 500.0$ 
```

```
In [687... eq2
```

```
Out[687...  $-0.6H_a - 0.16H_b + 200I_b$ 
```

```
In [688... eq3
```

```
Out[688...  $500.0 - 1.2H_a$ 
```

```
In [689... ha=sp.solve(eq3,Ha)
ha[0]
```

```
Out[689... 416.6666666666667
```

Logo $H_a = 2.0833$

```
In [690... eq1sub=eq1.subs(Ha,ha[0])
eq1sub
```

```
Out[690...  $0.16H_b - 200I_b + 250.0$ 
```

```
In [691... eq2sub=eq2.subs(Ha,ha[0])
eq2sub
```

```
Out[691...  $-0.16H_b + 200I_b - 250.0$ 
```

```
In [692... eq4=sp.solve((eq1sub,eq2sub))
eq4[H_b]
```

```
Out[692...  $1250.0I_b - 1562.5$ 
```

Aplicando a Lei Circuital de Ampère para

$$H_b - \frac{N_b I_b}{l_b} = 0$$

```
In [693... eq5 = Hb - nb*ib/lb
```

```
In [694... resp = sp.solve((eq4[H_b],eq5))  
resp[I_b]
```

```
Out[694... 1.25
```

temos que $I_b = 1.25A$